

# 潮位観測に基づく那佐湾の湾水振動特性

阿南工業高等専門学校 ○正員 島田富美男  
徳島大学工業短期大学部 正員 村上 仁士

1. まえがき 著者らは、1976年から徳島県南端に位置する那佐湾(図-1)における潮位観測を実施し、1976年および1976年の解析結果の一部をすでに報告している。本報では、1978年の潮位観測結果から、水位に関する標準偏差、skewness(歪度)およびkurtosis(尖鋭度)を求め、波の線形性について検討し、さらに最大エントロピー法(以下MEMと呼ぶ)によりスペクトル計算を行なった結果を報告する。

2. 現地観測の概要 観測は、図-1に示す十点で行ない、補助的に約300m離れたB点でも行なっている。観測装置は、図-2に示すように、石田式変倍水位計を一部改造して水位によって上下するフロートの動きを電圧変化に変え、その電圧変化をAD変換器(計測技研製DR108)を用いてデジタル量に変換し、1分ごとに紙テープにパンチ出力する。観測装置の詳しい概要は第25回海岸工学講演会論文集に報告している。

1978年に行なった観測諸元を表-1に示す。

3. 水位に関する統計量 一定時間間隔 $\Delta t$ ごとに、不規則変動としている水面の上昇量 $\eta$ を $N$ 個読み取ると、水位 $\eta$ に対する統計量は次式によて定義される。

$$\text{平均水位 } \bar{\eta} = \frac{1}{N} \sum_{i=1}^N \eta_i \quad (1), \quad \text{標準偏差 } \eta_{\text{rms}} = \left[ \frac{1}{N} \sum_{i=1}^N (\eta_i - \bar{\eta})^2 \right]^{\frac{1}{2}} \quad (2)$$

$$\text{skewness } \sqrt{3}, = \frac{1}{\eta_{\text{rms}}^3} \sum_{i=1}^N (\eta_i - \bar{\eta})^3 \quad (3), \quad \text{kurtosis } \beta_2 = \frac{1}{\eta_{\text{rms}}^4} \cdot \frac{1}{N} \sum_{i=1}^N (\eta_i - \bar{\eta})^4 \quad (4)$$

海の波については、解析の都合上 $\eta$ が正規分布(Gaussian)に従うと仮定することが多い。この仮定は波が線形な場合に成立するもので、skewnessおよびkurtosisがそれぞれのあたりになる。こうした特性が、長周期の波に起因する副振動が起こった場合でも成立するかどうかを調べようとした。那佐湾における観測値より、標準偏差、skewnessおよびkurtosisを計算した一例を図-3、図-4および図-5に示す。ここで、データ数 $N$ は350個(3ヶ月)取り、各特性値の時間変化を表わしている。これらの図より、skewnessおよびkurtosisがそれぞれは $-0.5 \sim 0.5$ ,  $2 \sim 4$ の範囲(表わされており、近似的に $\bar{\eta} = 0$ ,  $\eta_{\text{rms}} = 3$ の値を取ると考えられ、観測値を近似的に正規分布とみなすことができる)。次に行なうMEMの計算では用いる観測値が正規分布であるとの仮定がなされているので、この観測データをMEMでスペクトル解析を行なうことができると考えられる。また、標準偏差が大きくなってくると、skewnessおよびkurtosisの値がそれぞれよりほど離れてくる傾向がある。したがって、波高

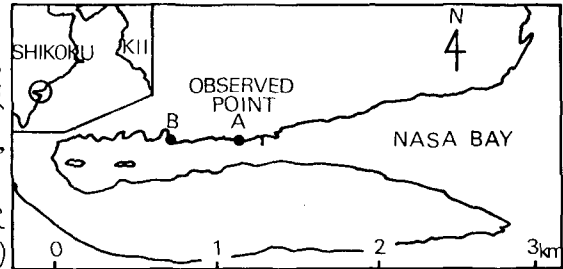


図-1 那佐湾

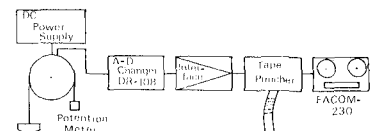


図-2 データ処理システム

表-1 観測諸元(1978)

No.	観測開始日時	観測終了日時
1	6/23 14:50	6/29 15:43
2	7/28 16:15	8/3 16:55
3	8/3 17:05	8/9 15:00

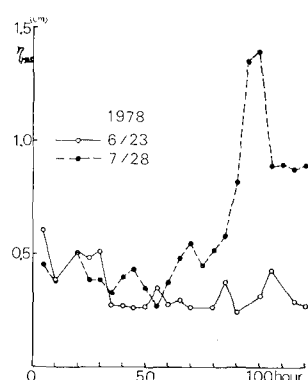


図-3 標準偏差

のバラツキが大きくな

れば、観測データの非線形性が強まり、データが正規分布とみなせなくななくなる。

#### 4. スペクトル解析

短時間データからも

分解能の高い安定した

スペクトルが得られる

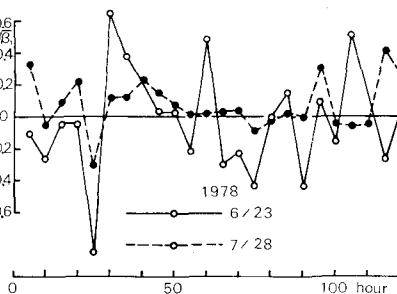


図-4 skewness

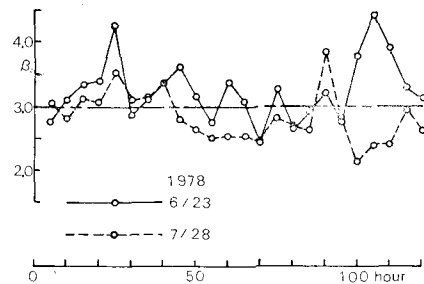


図-5 kurtosis

ので、最近注目されているMEMによりスペクトル計算を行なった。計算に用いたデータ数は、計算機の容量の制限から  $N=1200$  とし、各データとも 20 時間ごとのスペクトルを計算した。その計算結果の一例を図-6 および図-7 に示す。図-6 は、B 点での自己記録から台風や低気圧などの影響を強く受けている比較的湾内が静穏な場合(表-1 No.1)である。この図より、湾のもつ固有周期が基本モードで 26~27 分、2 次モードで 8~9 分であり、観測期間中を通じほとんどのスペクトルの変化はない。なお、3 次以上の

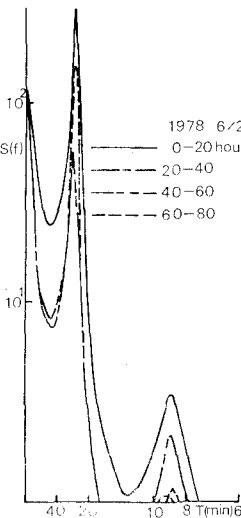


図-6 パワースペクトル(6月23日)

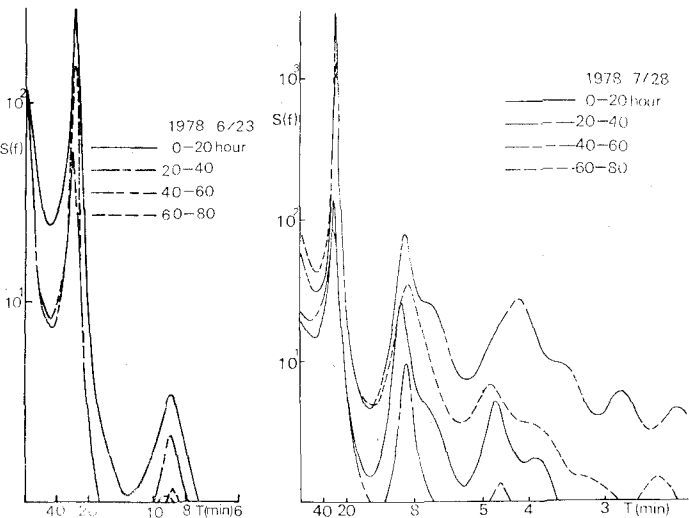


図-7 パワースペクトル(7月28日)

高次のモードは表われていない。図-7 は台風の影響を大きく受けた場合(表-1 No.2)を示している。この図と前図を比較してみると、台風の影響を受けたこの図は一般的にパワーレベルが増大し、3 次以上のモードも現われていることがわかる。しかし、基本モード、2 次モードの固有周期は明確で前図同様それでは 26~27 分、8~9 分でピークとなる。また図から、台風時には種々の周期成分からなる波により、湾内に固有周期以外の波のエネルギーが蓄積されることが知れる。また、このときのB点における自己記録をみると、那佐湾における副振動が強く現れていくことから、減衰してさらに発達するまでの過程が記録されており、この図からも 20 時間ごとのパワーレベルの増減とともに副振動の減衰および発達の状態がよくわかる。短時間データからもスペクトル解析ができるといふMEMの特徴を生かして、1 時間( $N=60$ )ごとのパワースペクトルを求めてみたが、上述した例以上のことを見いだることはできなかつた。最後に、観測資料収集に御協力顶いた当時阿南工業の学生、山崎賢一(下水道課業員)、正木光男(大林道路)両氏に謝意を表する。

#### 参考文献

- 1) 村上仁士・高谷博文: 那佐湾の海水運動特性, 第32回年講演概要集(第2部), pp.63-64, 1979.
- 2) 村上仁士・高谷博文: 現地資料および実測に基づく副振動の特性に関する考察, 第25回海岸工学講演会論文集, pp.85-89, 1978.
- 3) Burg, J. P.: Maximum entropy spectral analysis, paper printed at the 37th Annual International Meeting, Soc. of Explor. Geophys., Okla., Oct. 31, 1967.